



СОЮЗ СОВЕТСКИХ
СОЦИАЛИСТИЧЕСКИХ
РЕСПУБЛИК

(19) SU (11) 1569952 A1

(51) 5 Н 03 Н 11/12

ГОСУДАРСТВЕННЫЙ КОМИТЕТ
ПО ИЗОБРЕТЕНИЯМ И ОТКРЫТИЯМ
ПРИ ГНТ СССР

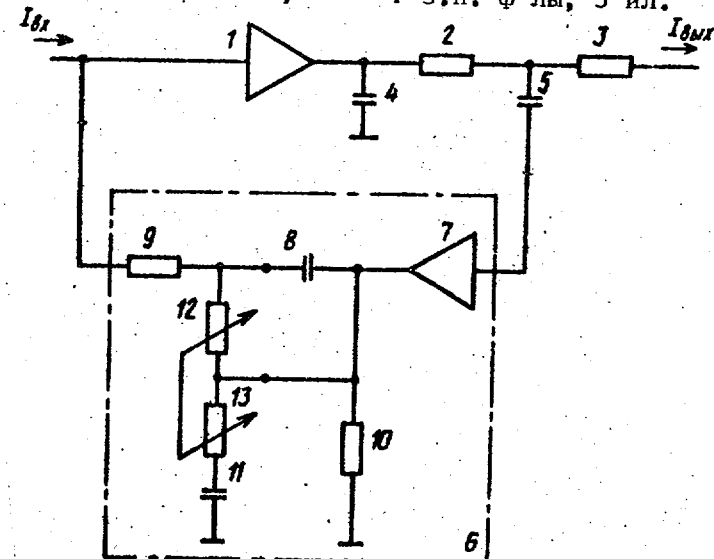
ОПИСАНИЕ ИЗОБРЕТЕНИЯ К АВТОРСКОМУ СВИДЕТЕЛЬСТВУ

ВСЕСОЮЗНАЯ
ПАТЕНТНО-ТЕХНИЧЕСКАЯ
БИБЛИОТЕКА

(21) 4343188/24-09
(22) 30.10.87
(46) 07.06.90. Бюл. № 21
(71) Минский радиотехнический ин-
ститут
(72) А.Е.Курочкин
(53) 621.372.54(088.8)
(56) Знаменский А.Е., Теплюк И.Н.
Активные RC-фильтры. - М.: Связь,
с. 91, рис. 3, 6а.

(54) ПЕРЕСТРАИВАЕМЫЙ АКТИВНЫЙ
RC-ФИЛЬТР
(57) Изобретение относится к радио-
технике и может быть использовано
в частотно-избирательных устройст-
вах. Целью изобретения является повы-
шение крутизны спада амплитудно-част-
тотной характеристики. Перестрояемый
активный RC-фильтр (АФ) содержит
источник 1 тока, управляемый током,

резисторы 2 и 3, конденсаторы 4 и 5,
регулируемое фазосдвигающее звено
6, содержащее усилитель 7 тока, кон-
денсаторы 8 и 11, резисторы 9 и 10,
переменные резисторы 12 и 13. За счет
изменения параметров регулируемого фа-
зосдвигающего звена 6 происходит об-
разование дополнительных нулей и полю-
сов передаточной функции, изменение
положения которых приводит к изменению
частоты среза и ее крутизны. В случае
использования устройства, имеющего
АЧХ пятого порядка, на выходе АФ ус-
тановлен преобразователь тока в напря-
жение для осуществления снятия выход-
ного сигнала по напряжению. Перестра-
иваемые активные RC-фильтры легко
каскадируются для получения АЧХ вы-
соких порядков подключением выхода
предыдущего к входу последующего.



Фиг.1

(19) SU (11) 1569952 A1

Изобретение относится к радиоэлектронике и может быть использовано в частотно-избирательных устройствах.

Цель изобретения - повышение крутизны спада амплитудно-частотной характеристики.

На фиг.1 приведена принципиальная электрическая схема перестраиваемого активного RC-фильтра; на фиг.2 - амплитудно-частотные характеристики (АЧХ) при различных положениях переменных резисторов; на фиг.3 - фильтр, имеющий АЧХ пятого порядка.

5

15

Перестраиваемый активный RC-фильтр содержит источник 1 тока, управляемый током, первый 2 и второй 3 резисторы, первый 4 и второй 5 конденсаторы, регулируемое фазосдвигающее звено 6, содержащее усилитель 7 тока, третий конденсатор 8, третий 9 и четвертый 10 резисторы, четвертый конденсатор 11, первый 12 и второй 13 переменные резисторы.

Перестраиваемый активный RC-фильтр работает следующим образом.

Передаточная функция устройства описывается выражением

$$T(p) = \frac{K_I}{p^2 \hat{C}^2 + p \hat{C} [3 - K_I (\hat{C}_{\text{инт}} + \hat{C}_{\text{диф}}) (1 + p R_4 C_{\text{инф}})] + 1} \quad (1)$$

где K_I - коэффициент передачи по току источника 1 тока;

$$\hat{C}_{\text{диф}} = R_9 C_8;$$

$$\hat{C}_{\text{инт}} = R_{10} C_{11}; R_{12} = R_{13};$$

$$\hat{C}_1 = \hat{C}_2 = \hat{C} = C_4 R_2 = C_5 R_3.$$

Рассмотрим два случая: $R_{12} = R_{13}$; и $R_{13} = R_{12} = R_{\max}$, прием $R_{\max} \gg R_9$ и $R_{\max} \gg R_{10}$.

При $R_{13} = R_{12} = 0$ из (1) получают

25

30

$$T(p) = \frac{K_I}{p^2 \hat{C}^2 + p \hat{C} (3 - \frac{K_I}{1 + p \hat{C}_{\text{инт}}}) + 1}, \quad (2)$$

где

$$\bar{T}(p) = \frac{1 + p \hat{C}_{\text{инт}}}{p^3 \hat{C}^2 \hat{C}_{\text{инт}} + p^2 (\hat{C}^2 + 3 \hat{C} \hat{C}_{\text{инт}}) + p [\hat{C}_{\text{инт}} + \hat{C} (3 - K_I)] + 1} \quad (5)$$

Как показывает анализ, знаменатель выражения 5 имеет один действительный корень и два комплексно-сопряженных корня, причем действительный корень лежит далеко от мнимой оси, что позволяет пренебречь им при анализе работы устройства в пределах полосы пропускания.

Обозначают

$$\omega_p^2 + \sigma_1^2 = a; \quad (6)$$

$$\omega_p^2 - \sigma_1^2 = b. \quad (7)$$

При таком расположении полюсов и нуля можно записать выражение для АЧХ устройства в виде

$$|\bar{T}(p)| = \frac{\sqrt{\sigma_2^2 + \omega^2}}{\sigma_2^2} \cdot \frac{(\omega_p^2 + \sigma_1^2)}{\sqrt{[(\omega_p - \omega)^2 + \sigma_1^2] [(\omega_p + \omega)^2 + \sigma_1^2]}}, \quad (8)$$

где ω - текущая частота.

$$K_{I_0} = K_I (R_{10}/R_9). \quad (3)$$

Как видно из (3)

$$K_I = K_{I_0} \frac{R_9}{R_{10}}, \quad (4)$$

т.е. при $R_9 \gg R_{10}$ значение $K_I \gg 1$. Таким образом, устройство позволяет иметь значения коэффициента передачи по току $K_I \gg 1$.

Будем рассматривать $T(p)$, нормированную по уровню:

$$\tilde{T}(p) = \frac{T(p)}{T(p=0)};$$

С учетом (6) и (7) можно записать

$$|\tilde{T}(p)| = \frac{\sqrt{\sigma_2^2 + \omega^2}}{\sigma_2^2} \cdot \frac{a}{\sqrt{\omega_4^2 - 2\omega^2 b + a^2}}. \quad (9)$$

Приравнивая выражение (9) к единице, получим выражение для частоты среза

$$\omega_c = \sqrt{\frac{a^2}{\sigma_2^2}} + 2b. \quad (10)$$

Приближенные выражения ω_p для и σ_1 можно получить из (5)

$$\sigma_1 = \frac{\hat{C}_{\text{инт}} + \hat{C} (3 - K_{I_0})}{2(\hat{C}^2 + 3 \hat{C} \hat{C}_{\text{инт}})}; \quad (11)$$

$$\omega_p = \frac{\sqrt{4(\hat{C}^2 + 3 \hat{C} \hat{C}_{\text{инт}}) - [\hat{C}_{\text{инт}} + \hat{C} (3 - K_{I_0})]^2}}{2(\hat{C}^2 + 3 \hat{C} \hat{C}_{\text{инт}})}. \quad (12)$$

$$\sigma_2 = -\frac{1}{\hat{C}_{\text{инт}}}. \quad (13)$$

Тогда выражение для ω_c имеет вид

$$\omega_c = \frac{\sqrt{2\hat{\zeta}_{\text{инт}} K_{10} + 7\hat{\zeta}^2 + 6\hat{\zeta}^2 K_{10} - \hat{\zeta}^2 K_{10}^2}}{\hat{\zeta}_2 + 3\hat{\zeta}\hat{\zeta}_{\text{инт}}} \quad (14)$$

При $\hat{\zeta}_{\text{инт}} \gg 1$ можно записать приближенное выражение

$$\omega_0 \approx 0,47 \sqrt{\frac{K_{10}}{\hat{\zeta}\hat{\zeta}_{\text{инт}}}} \quad (15)$$

Выражение (15) имеет расположение полюсов и нуля, причем нуль G_2 расположен далеко от мнимой оси, что позволяет пренебречь им при расчетах в пределах полосы пропускания.

Выражение для АЧХ имеет вид

$$|T(p)| = \frac{G_3}{\sqrt{G_3^2 + \omega^2}} \cdot \frac{a}{\sqrt{\omega^4 - 2b\omega^2 + a^2}} \quad (18)$$

$$T(p) = \frac{1}{p^3 \hat{\zeta}^2 \hat{\zeta}_{\text{диф}} + p^2 [\hat{\zeta}^2 + \hat{\zeta} \hat{\zeta}_{\text{диф}} (3 - K_{10})] + p (3\hat{\zeta} + \hat{\zeta}_{\text{диф}} + 1)} \quad (20)$$

то в пределах полосы пропускания $T(p)$ фактически описывает фильтр третьего порядка с заданным значением.

Таким образом, за счет изменения параметров регулируемого фазосдвигавшего звена 6 происходит образование дополнительных нулей и полюсов передаточной функции, изменение положения которых приводит к изменению частоты среза и ее крутизны, что видно из выражений (14) и (19).

На фиг. 2 приведены зависимости, рассчитанные по выражениям (5) и (17) для $\hat{\zeta}=1$, $\alpha=3$ дБ при различных значениях $R_{13}=R_{12}$. Из зависимостей видно, что дальнейшее уменьшение $\hat{\zeta}_{\text{диф}}$ нецелесообразно, так как оно связано с ростом дополнительной неравномерности АЧХ (кривая III). При $\hat{\zeta}_{\text{диф}}=2$ составляет 4,5 дБ на частоте $\omega=0,57$, значение $\omega_{c\max}$ при этом равно 1,73; $K_{10}=2,8$. При $\hat{\zeta}_{\text{инт}}=4$ значение $\omega_{c\min}$ составляет 0,42 (кривая I), при этом $K_{10}=2,8$. Дальнейшее повышение значения $\hat{\zeta}_{\text{инт}}$, как показал анализ, ведет к неопределенному росту K_{10} , необходимого для поддержания заданного значения α , а следовательно, и к росту общего K_T . При необходимости можно ввести дополнительную регулировку K_{10} за счет изменения соотношения резисторов R_9 и R_{10} и стабилизировать об-

ществление для $T(p)$ выражение для $T(p)$ имеет вид

$$T(p) = \frac{K_F}{p^2 \hat{\zeta}^2 + p \hat{\zeta} (3 - K_{10}) \frac{p \hat{\zeta}_{\text{диф}}}{1 + p \hat{\zeta}_{\text{диф}}) + 1} \quad (16)$$

Выражение $T(p)$, нормированное относительно $T(p=0)$, можно записать в следующем виде:

$$\bar{T}(p) = \frac{1 + p \hat{\zeta}_{\text{диф}}}{p^3 \hat{\zeta}^2 \hat{\zeta}_{\text{диф}} + p^2 [\hat{\zeta}^2 + \hat{\zeta} \hat{\zeta}_{\text{диф}} (3 - K_{10})] + p (3\hat{\zeta} + \hat{\zeta}_{\text{диф}} + 1)} \quad (17)$$

Выражение для ω_c имеет вид

$$\omega_c = \frac{\sqrt{(\hat{\zeta}_3^2 + 2b)^2 - 4a^2 - (\hat{\zeta}_3^2 - 2b)}}{2} \quad (19)$$

Так как выражение 17 в пределах полосы пропускания можно записать в виде

щий коэффициент передачи K_T . При этом пределы регулирования частоты среза могут быть значительно расширены. В данном случае изменение частоты среза $\omega_{c\max}/\omega_{c\min}=1,73/0,42 \approx 4,1$ раза. Если в процессе регулирования ω_c не изменять значения K_{10} , а следовательно, и общий K_T , то процесс сопровождается изменением α . Причем существует оптимальное значение $\hat{\zeta}_{\text{диф}}$, при котором частота ω_c максимальна, $\omega_{c\min}$ ограничивается уменьшением крутизны спада АЧХ, поскольку из-за снижения α уменьшение крутизны спада зависит от $\hat{\zeta}_{\text{инт}}$ в большей степени (происходит более быстрое превращение комплексно-сопряженных полюсов в действительные, что видно из выражения (3), которое при $\hat{\zeta}_{\text{инт}} \gg 1$ фактически описывает передаточную функцию пассивного RC-фильтра второго порядка). При $K_T=2,23$, что соответствует $\omega_c=1,18$, $\alpha=3$ $R_{13}=R_{12}=R_{\max}/2$, получены следующие значения ω_c и α : при $\hat{\zeta}_{\text{инт}}=4$ ($R_{13}=R_{12}=0$) $\omega_{c\min}=0,42$ и $\alpha=3$ дБ, при $\hat{\zeta}_{\text{диф}}=8$ ($R_{13}=R_{12}=R_{\min}$) $\omega_{c\max}=1,28$ и $\alpha=2$ дБ. При изменении ω_c от 0,42 до 1,28 значение α не превышает 5 дБ, дополнительная неравномерность α , при этом не превышает 3 дБ. При перестройке АФ изменяется крутизна спада АЧХ, что видно из выраже-

ний (3) и (16), так как порядок АФ в районе ω_c в пределе стремится либо к $n=1$ (-6 дБ/октаву), либо к $n=3$ (-18 дБ/октаву). Однако, так как реальный диапазон перестройки далеко не достигает возможных значений из-за роста K_{10} и появления дополнительной неравномерности АЧХ.

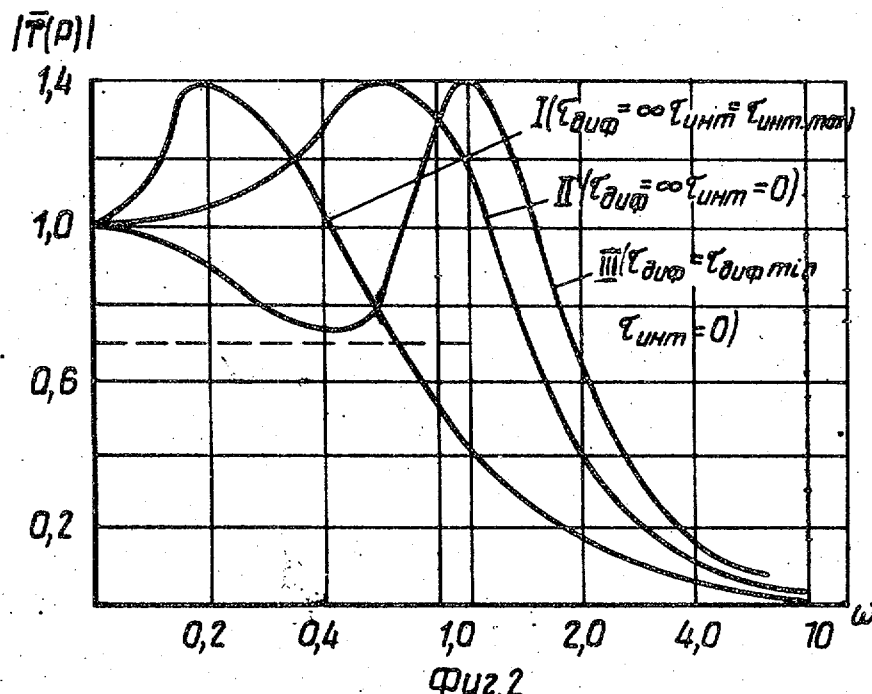
На выходе фильтра (фиг.3), имеющего АЧХ пятого порядка, установлен преобразователь 14 тока в напряжение, для осуществления снятия выходного сигнала по напряжению. Перестраиваемые активные RC-фильтры легко каскадируются для получения АЧХ высоких порядков простым подключением выхода к входу последующего каскада.

Ф о р м у л а и з о б р е т е н и я 20

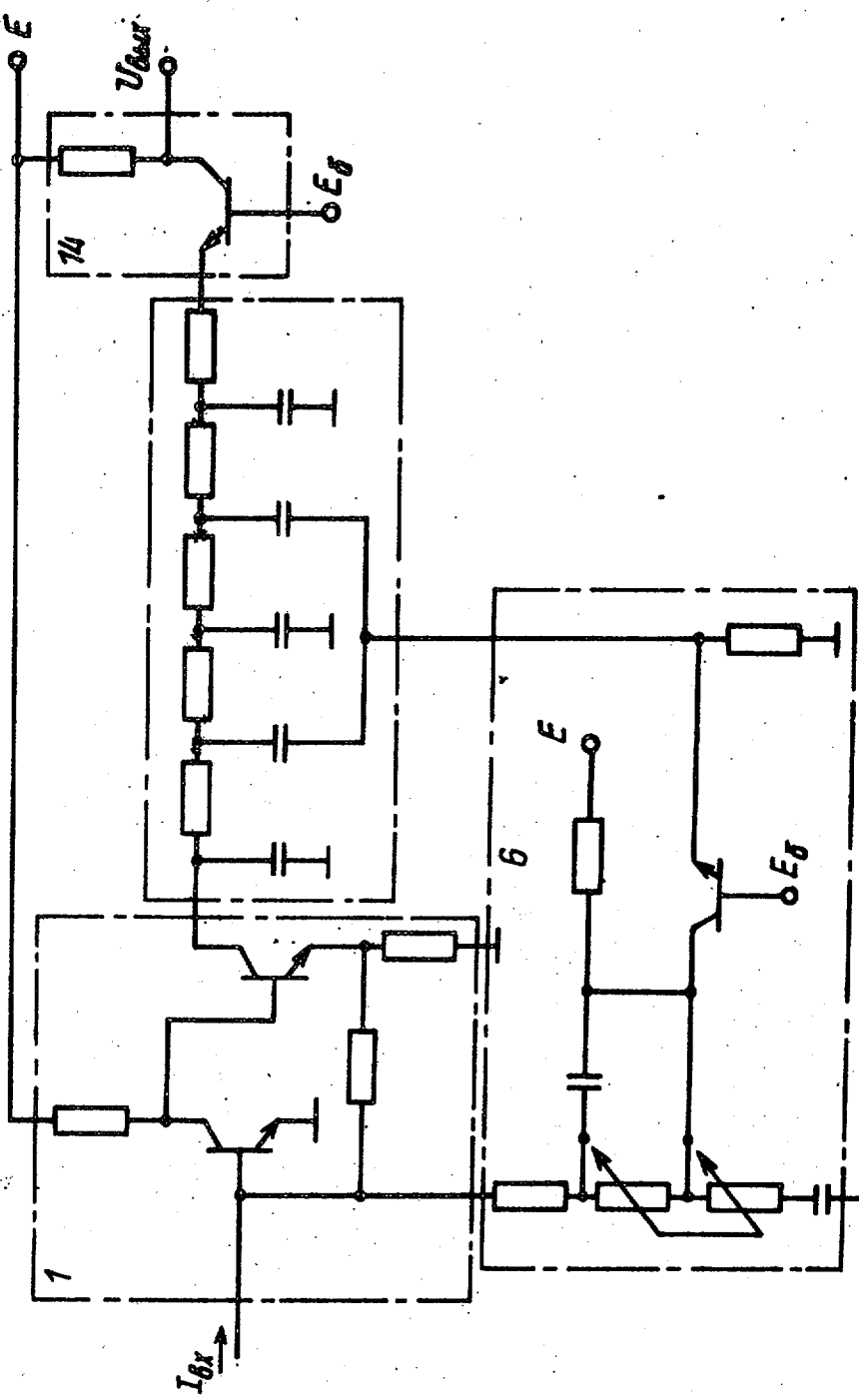
1. Перестраиваемый активный RC-фильтр, содержащий последовательно соединенные источник тока, управляемый током, первый и второй резисторы, вход источника тока, управляемого током, является входом перестраиваемого активного RC-фильтра, первый вывод первого резистора через первый кон-

денсатор соединен с общей шиной, а второй вывод первого резистора соединен с первым выводом второго конденсатора, отличаясь тем, что, с целью повышения крутизны спада амплитудно-частотной характеристики, введено регулируемое фазосдвигающее звено, выход которого соединен с входом источника тока, управляемого током, а вход регулируемого фазосдвигающего звена соединен с вторым выводом второго конденсатора.

2. Активный RC-фильтр по п. 1, отличаясь тем, что регулируемое фазосдвигающее звено выполнено в виде последовательно соединенных усилителя тока, третьего конденсатора и третьего резистора, выход усилителя тока соединен через четвертый резистор с общей шиной, а второй вывод третьего конденсатора через последовательно соединенные первый и второй переменные резисторы и четвертый конденсатор соединен с общей шиной, а точка соединения первого и второго переменного резисторов соединена с выходом усилителя тока.



Фиг.2



Фиг. 3

Составитель Ю.Чернышов
Редактор О.Головач Техред М.Дидык Корректор Т.Палий

Заказ 1456

Тираж 655

Подписьное

ВНИИПТИ Государственного комитета по изобретениям и открытиям при ГКНТ СССР
113035, Москва, Ж-35, Раушская наб., д. 4/5

Производственно-издательский комбинат "Патент", г. Ужгород, ул. Гагарина, 101